

ゲージ超対称性の幾何学的破れ

岩田 寛幸 物理学専攻

2001年12月5日(水)コロキウム

目次

- 1 はじめに 2
- 2 超対称性理論とその破れ 4
- 3 付加項への示唆(古典解の凝縮?) 11
- 4 まとめ 14

1 はじめに

- 標準模型

電磁相互作用と弱い相互作用の統一に成功。

自発的対称性の破れ $< H > \sim O(100 \text{ GeV})$ 。

階層性の問題

ヒッグス粒子の質量にループからくる二次発散をくり込む際の
不自然な微調整。

解決策



- 超対称性

質量の縮退した整数スピンと半整数スピンの存在を仮定。

フェルミオン \leftrightarrow ボゾン

$\sqrt{s} \ll [TeV]$ で超対称粒子は実験的には見つからない。



目的

超対称性の破れの機構が必要

N=1の超代数と超対称変換

$$\{Q_\alpha, \bar{Q}_\beta\} = 2\sigma_{\alpha\beta}^\mu P_\mu$$

$$\{Q_\alpha, Q_\beta\} = 0$$

$$[H, Q_\alpha] = 0$$

超対称性の破れの機構

1. 自発的対称性の破れ

2. Soft breaking 二次発散を出さない

3. 代数の幾何学的な破れ

- W-Z model, domain-wall, (Shifman)

N=1 超代数

$$\{Q_\alpha, Q_\beta\} \propto (\sigma^i \sigma^2)_{\alpha\beta} \underbrace{\int d^3x \partial_i \phi(x)}_{\text{表面積分}} \neq 0 ?$$

- SUSY gluodynamics, (今回の試み)

$$[H, Q_\alpha] = i \underbrace{\int d^3x \partial_i J_\alpha^i}_{\text{表面積分}} \neq 0 ?$$

1. 自発的対称性の破れ

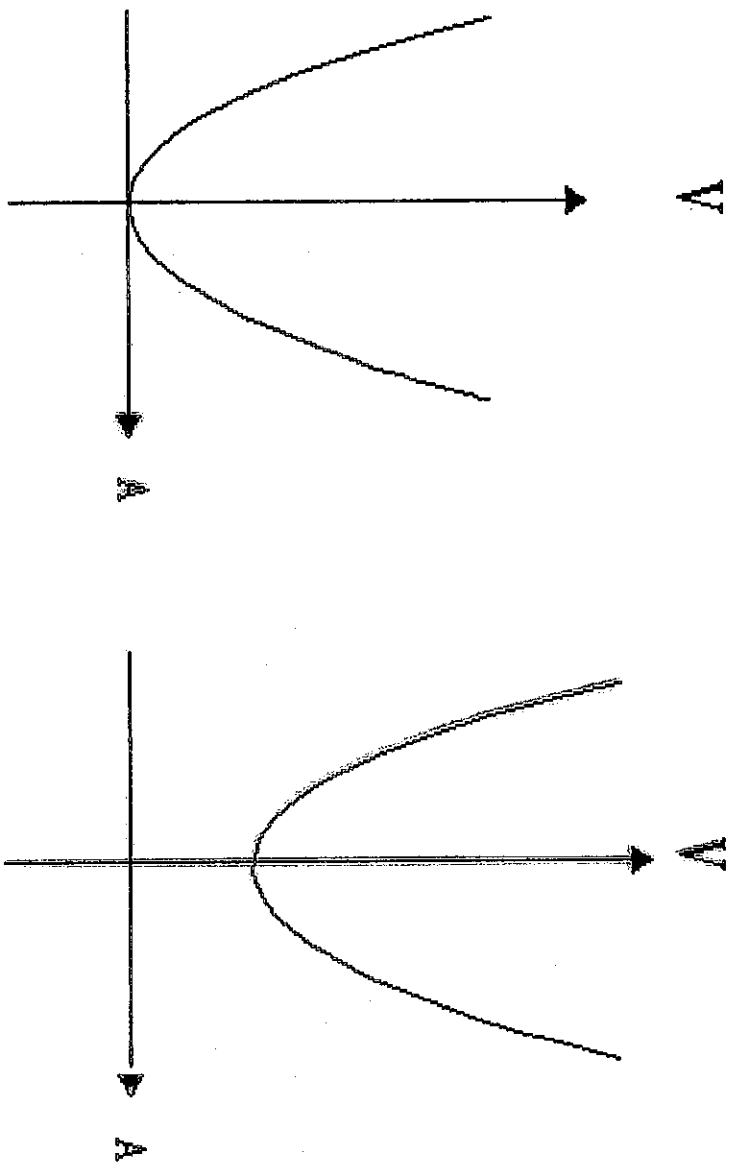


図 1: 自発的対称性の破れ

2 超対称性理論とその破れ

ラグランジアンのスーパ変換

$$\delta \mathcal{L} = \partial_\mu K^\mu$$

カレントの保存則

$$\begin{aligned} \partial_\mu J^\mu &\equiv \partial_\mu (K^\mu - N^\mu) = 0 \\ (N_\mu &\equiv \delta\phi_l \frac{\partial \mathcal{L}}{\partial(\partial_\mu \phi_l)}) \end{aligned}$$

スーパチャージ

$$Q_\alpha = \int d^3x J_\alpha^0$$

$\{Q_\alpha, Q_\beta\} =$ 無限遠方表面積分

超対称性の確認

$$i[H, Q_\alpha] = \dot{Q}_\alpha = - \int d^3x \partial_i J_\alpha^i$$

$$\begin{cases} = 0 & \text{SUSY} \\ \neq 0 & \text{~~SUSY~~} \end{cases}$$

位相的な解が無限遠方の表面積分を捨てるか?

2.1 Wess-Zumino model(Shifman)

$$\mathcal{L} = \partial^\mu \phi^\dagger \partial_\mu \phi + i \partial_\mu \psi \sigma^\mu \bar{\psi} + F^\dagger F + [F(\mu^2 - \kappa \phi^2) + \kappa \phi \psi \psi + H.c.]$$

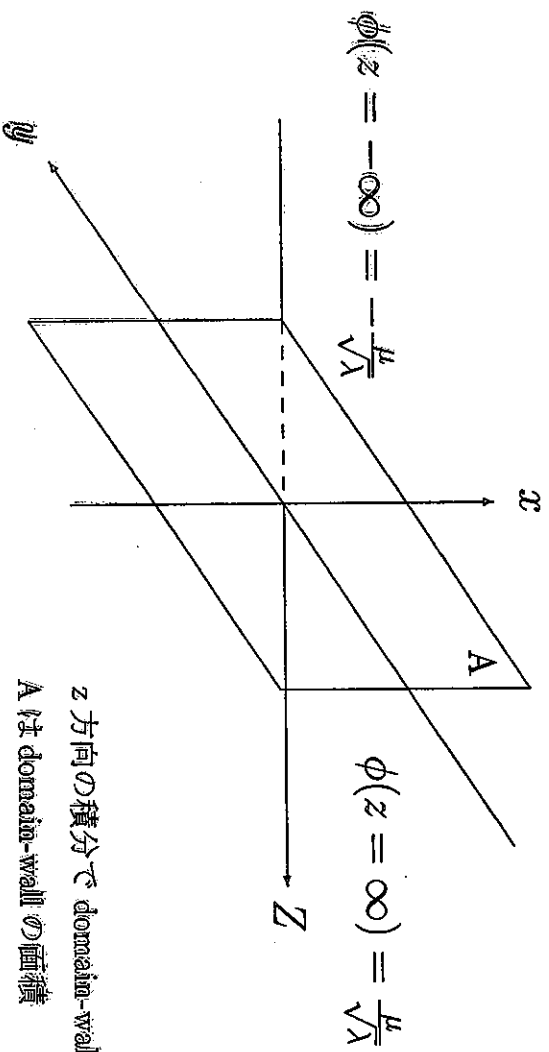
$$\{Q_\alpha, Q_\beta\} = \frac{8}{3} \mu^2 (\sigma^i \sigma^j)_{\alpha\beta} \int d^3x \partial_i \phi(x)$$

$$= -i \frac{8}{3} \mu^2 (\sigma^1)_{\alpha\beta} [\phi(z = +\infty) - \phi(z = -\infty)] A$$

$$\equiv -i 2 (\sigma^1)_{\alpha\beta} \Sigma A \neq 0 \Rightarrow \text{代数の幾何学的破れ}$$

$$\Sigma = \frac{8}{3} \frac{\mu^3}{\sqrt{\lambda}}$$

$$E \geq \Sigma A, \text{ BPS}$$



z 方向の積分で domain-wall 解を捨てる。
A は domain-wall の面積

図 2: domain-wall

2.2 Supersymmetric gluodynamics

今回の試み

ラグランジアン

$$\mathcal{L} = -\frac{1}{4}[G_{\mu\nu}^a G^{\mu\nu,a} - 2\{i\lambda^{\alpha,a}(\mathcal{D}_{\alpha\dot{\alpha}}\bar{\lambda}^{\dot{\alpha}})^a + H.C.\} - D^a D^a]$$

$$\begin{aligned} G_{\mu\nu}^a &= \partial_\mu A_\nu^a - \partial_\nu A_\mu^a + \varepsilon^{abc} A_\mu^b A_\nu^c \\ (\mathcal{D}_{\alpha\dot{\alpha}}\bar{\lambda}^{\dot{\alpha}})^a &= \partial_{\alpha\dot{\alpha}}\bar{\lambda}^{\dot{\alpha},a} + \varepsilon^{abc} A_{\alpha\dot{\alpha}}^b \bar{\lambda}^{\dot{\alpha},c} \\ A_{\alpha\dot{\alpha}} &= A_\mu \sigma_{\alpha\dot{\alpha}}^\mu \end{aligned}$$

スーパース変換

$$\begin{aligned} \delta_\eta A_\mu &= i\eta\sigma_\mu\bar{\lambda} - i\lambda\sigma_\mu\bar{\eta} \\ \delta_\eta\lambda^\alpha &= -(i\eta\sigma^{\rho\kappa})^\alpha G_{\rho\kappa} + i\eta^\alpha D \\ \delta_\eta\bar{\lambda}^{\dot{\alpha}} &= (\bar{\sigma}^{\rho\kappa}\bar{\eta})^{\dot{\alpha}} G_{\rho\kappa} - i\bar{\eta}^{\dot{\alpha}} D \\ \delta_\eta D &= \eta\sigma^\mu(\mathcal{D}_\mu\bar{\lambda}) + (\mathcal{D}_\mu\lambda)\sigma^\mu\bar{\eta} \end{aligned}$$

$$\sigma^{\mu\nu} = \frac{1}{4}(\sigma^\mu\bar{\sigma}^\nu - \sigma^\nu\bar{\sigma}^\mu)$$

$$\bar{\sigma}^{\mu\nu} = \frac{1}{4}(\bar{\sigma}^\mu\sigma^\nu - \bar{\sigma}^\nu\sigma^\mu)$$

$$\bar{\sigma}^\mu = \{1, -\sigma\}$$

$$\delta \mathcal{L} = \frac{-i\partial_\mu}{2} [\eta \sigma_\nu \bar{\lambda}^a (G^{\mu\nu, a} + i\tilde{G}^{\mu\nu, a}) + i\eta \sigma^\mu \bar{\lambda}^a D^a] + H.C.$$

$$K^\mu \equiv \frac{-i}{2} [\eta \sigma_\nu \bar{\lambda}^a (G^{\mu\nu, a} + i\tilde{G}^{\mu\nu, a}) + i\eta \sigma^\mu \bar{\lambda}^a D^a]$$

$$\tilde{G}^{\mu\nu, a} \equiv \frac{1}{2} \varepsilon^{\mu\nu\rho\kappa} G_{\rho\kappa}^a \quad (\varepsilon^{0123} = 1)$$

ネーターカレント

$$N^\mu = -\frac{i}{2} [\eta \sigma_\nu \bar{\lambda}^a (3G^{\mu\nu, a} - i\tilde{G}^{\mu\nu, a}) + i\eta \sigma^\mu \bar{\lambda}^a D^a]$$

スーパーカレント

$$\begin{aligned} J_\alpha^\mu &= K^\mu - N^\mu \\ &= (iG^{\mu\nu, a} + \tilde{G}^{\mu\nu, a}) (\sigma_\nu \bar{\lambda}^a)_\alpha \end{aligned}$$

反交換関係

$$\{Q_\alpha, Q_\beta\} = (\sigma^i \sigma^2)_{\alpha\beta} \int d^3x \partial_i [\bar{\lambda}^a \bar{\lambda}^a]$$

交換関係

$$[H, Q_\alpha] = i \int d^3x \partial_i \left\{ (iG^{iv, a} + \frac{1}{2} \varepsilon^{iv\rho\kappa} G_{\rho\kappa}^a) (\sigma_\nu \bar{\lambda}^a)_\alpha \right\}$$

運動方程式

$$(\mathcal{D}_{\alpha\dot{\alpha}} \bar{\lambda}^{\dot{\alpha}}) = 0$$

$$(\mathcal{D}_\nu G^{\mu\nu}) + i\lambda \times (\sigma^{\mu\nu} \bar{\lambda}) = 0$$

● ポリヤコフモノポールの解

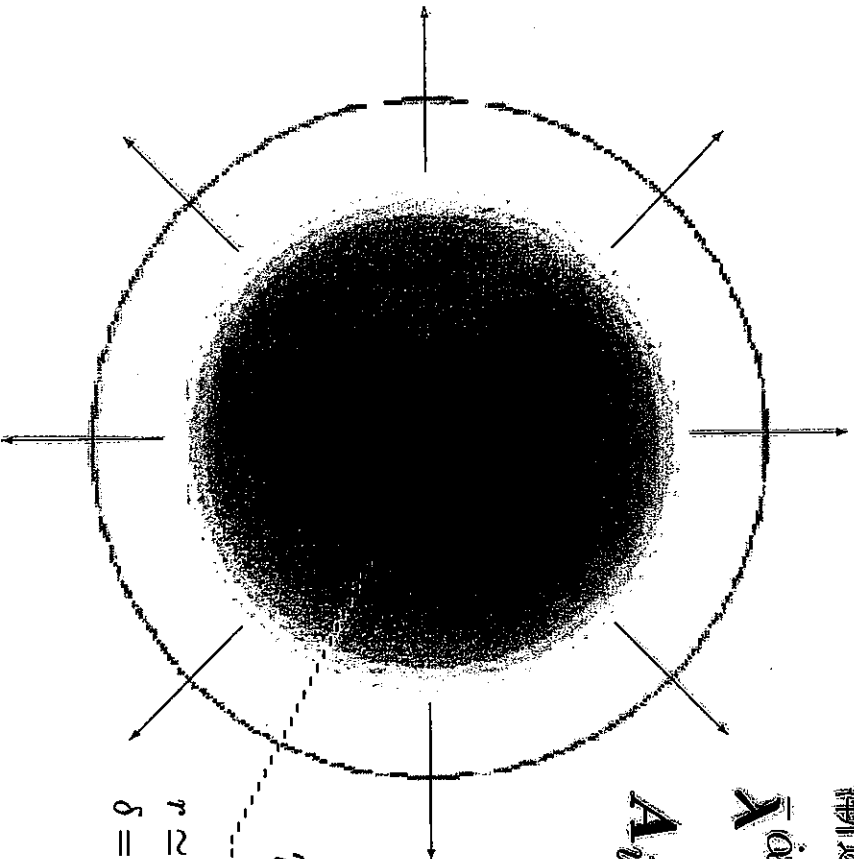
$$\bar{\lambda}^{\dot{\alpha}} = n'^{\dot{\alpha}} \epsilon^{\dot{\alpha}}, \quad n' = \frac{r}{r+\delta}, \quad (\delta \geq 0)$$

$$A_i = \partial_i n' \times n', \quad A_0 = 0$$

漸近形 ($\delta \ll r$)

$$\bar{\lambda}^{\dot{\alpha}} = n \epsilon^{\dot{\alpha}}, \quad n = \frac{r}{r}$$

$$A_i = \partial_i n \times n, \quad A_0 = 0$$



$$n' = \frac{r}{r+\delta}$$

$r \simeq 0$ 近傍で external source が現れる
 $\delta = 0$ の時、 $r = 0$ でシンギュラー

- 位相的な解による超対称性の破れ

$$\{Q_\alpha, Q_\beta\} \Big|_{\text{位相的な解}} = 0$$

$$\dot{Q}_\alpha = i[H, Q_\alpha] \Big|_{\text{位相的な解}} = -4\pi(\sigma^0 \vec{e})_\alpha \neq 0$$

- 特異点と等価な、付加項による破れ

$$\mathcal{L}_{\text{eff}} = \mathcal{L} + ic \underbrace{(\lambda^\alpha \sigma^\mu \partial_\mu \bar{\lambda}^\alpha - \partial_\mu \lambda^\alpha \sigma^\mu \bar{\lambda}^\alpha)}_{=M}$$

c の値は？

超対称変換

$$\delta_\eta \mathcal{L}_{\text{eff}} = \partial_\mu K^\mu + \delta_\eta M$$

カレント

$$\partial_\mu J^\mu = \delta_\eta M$$

超対称性の破れ

$$[H_{\text{eff}}, \eta Q] = i \int [\underbrace{\partial_i J^i}_{\text{位相的な解を含まない}} + \underbrace{\delta_\eta M}_{\text{破れの効果}}] d^3x$$

(=0) (位相的な解の寄与?)

$$= c \int d^3x [(\eta \sigma^{\mu\nu} \sigma^\rho \partial_\rho \bar{\lambda}^a) G_{\mu\nu}^a - (\eta \sigma^{\mu\nu} \sigma^\rho \bar{\lambda}^a) \partial_\rho G_{\mu\nu}^a] \neq 0$$

(一)の古典解で右辺を計算した値がQに一致するようにして定数を選ぶ

$$\bar{\lambda}^\alpha = n'_\epsilon \bar{\epsilon}^\alpha, \quad n' = \frac{r}{r+\delta}$$

$$A_i = \partial_i n' \times n', \quad A_0 = 0$$

$$\text{右辺} = i 4c \pi \eta \sigma^0 \bar{\epsilon} \lim_{R \rightarrow \infty} \left[\frac{2R^3}{(R+\delta)^3} + \frac{3R^5}{5(R+\delta)^5} \right]$$

$$\Downarrow \quad \delta = 0, \quad c = \frac{13}{10}$$

$$= i 4 \pi \eta \sigma^0 \bar{\epsilon}$$

3 付加項への示唆 (古典解の凝縮?)

3.1 ボルテックス凝縮としてのヒゲスモデル (1+2次元)

$$\mathcal{L} = -\frac{1}{4}F_{\mu\nu}F^{\mu\nu} + |\partial_{\mu}\phi + iA_{\mu}\phi|^2 + V(\phi)$$

ϕ 複素ヒゲス場, $F_{\mu\nu} = \partial_{\mu}A_{\nu} - \partial_{\nu}A_{\mu}$

$$V(\phi) = -\frac{1}{4}\mu^2(|\phi|^2 - \kappa^2)^2$$

ボルテックス (古典) 解

static case

$$\phi \propto \exp[in\theta], \quad \tan \theta = x_2/x_1, \quad n; \text{ winding number}$$

$$\phi \rightarrow \exp[-i\Lambda|\phi], \quad \Lambda = n\theta$$

$$A_{\mu} \rightarrow A_{\mu} + \partial_{\mu}\Lambda$$

$$F_{12} \rightarrow F_{12} + \underbrace{2\pi n \delta^2(\mathbf{r})}_{\Omega_{12}}, \quad \mathbf{r} = (x_1, x_2)$$

time dependent:

$$\Omega_{\mu\nu\rho} = \sum_l 2\pi n_l \varepsilon_{\mu\nu\rho} \int d\tau_l \dot{x}_l^{\rho}(\tau_l) \delta^3(x - x_l(\tau_l))$$

, $l = 1, 2, \dots, N$, N_i ; ボルテックスの数

ボルトツクス解の分離 ($F_{\mu\nu} = \tilde{F}_{\mu\nu} + \Omega_{\mu\nu}$)

$$\mathcal{L} = \tilde{\mathcal{L}} - \frac{1}{2}\Omega_{\mu\nu}\tilde{F}^{\mu\nu} - \frac{1}{4}\Omega_{\mu\nu}\Omega^{\mu\nu}$$

$$\bullet -\frac{1}{2}\Omega_{\mu\nu}\tilde{F}^{\mu\nu} = \sum_{l=1}^N \int d\tau_l F_\mu(x_l(\tau_l)) \dot{x}_l^\mu(\tau_l)$$

$$F_\mu(x_l) = -\pi n_l \varepsilon_{\mu\nu\lambda} \tilde{F}^{\nu\lambda}(x_l)$$

$$\bullet -\frac{1}{4}\Omega_{\mu\nu}\Omega^{\mu\nu} = \sum_{l=1}^N \int d\tau_l m_l \sqrt{\dot{x}_l^2(\tau_l)}$$

$$m_l = (\pi n_l \delta(0))^2$$

多体化による有効作用の生成

$$\sum_{\text{ボルトツクス}} \exp[i \int d^3x \mathcal{L}] = \exp[i \int d^3x \tilde{\mathcal{L}}] \times T$$

$$\begin{aligned} T &= \int_0^\infty \frac{d\tau}{\tau} \sum_{N=0}^\infty \frac{1}{N!} \int (\prod_{l=1}^N D x_l) \exp[i \sum_{l=1}^N \int_0^\tau d\tau_l \{ m_l \sqrt{\dot{x}_l^2(\tau_l)} + F_\mu(x_l(\tau_l)) \dot{x}_l^\mu(\tau_l) \}] \\ &= \int D\chi \exp[i \int d^3x \{ -m^2 |\chi(x)|^2 + |\partial_\mu \chi(x) + i F_\mu(x) \chi(x)|^2 \}] \end{aligned}$$

χ を位相解により生成された ϕ の自由度と見なして元の作用にまとめると

$$\mathcal{L}_{\text{eff}}(\phi) = \underbrace{\tilde{\mathcal{L}}(\phi)}_{\text{ボルトツクス解含まず}} + \underbrace{\{ |\partial_\mu \phi + i F_\mu \phi|^2 - m^2 |\phi|^2 \}}_{\text{ボルトツクス解によるスカラー場}}$$

Supersymmetric gluodynamics のラグランジアン

$$\mathcal{L} = -\frac{1}{4}[G_{\mu\nu}^a G^{\mu\nu,a} - 2\{i\lambda^{\alpha,a}(\mathcal{D}_{\alpha\dot{\alpha}}\bar{\lambda}^{\dot{\alpha}})^a + \text{H.C.}\}] - D^a D^a]$$

サミュエルの公式を使う

$$\begin{aligned} T &= \int_0^\infty \frac{d\tau}{\tau} \sum_{N=0}^\infty \frac{(-1)^N}{N!} \int \underbrace{D_{\mathcal{X}^N}}_{N \text{ 粒子の自由度}} \exp[i\tau S_M(N \text{ 粒子のボース-フェルミの作用})] \\ &= \int D\lambda \exp[\epsilon(\partial_\mu \lambda^a \sigma^{\mu\nu} \bar{\lambda}^a - \lambda^a \sigma^{\mu\nu} \partial_\mu \bar{\lambda}^a \\ &\quad + im\lambda\lambda + im\bar{\lambda}\bar{\lambda}) d^4x] \end{aligned}$$

⇓

エフェクティブラグランジアン

$$\mathcal{L}_{\text{eff}} = \underbrace{\mathcal{L}}_{\text{位相的な解含まず}} + \underbrace{ic(\lambda^a \sigma^{\mu\nu} \partial_\mu \bar{\lambda}^a - \partial_\mu \lambda^a \sigma^{\mu\nu} \bar{\lambda}^a - im\lambda\lambda - im\bar{\lambda}\bar{\lambda})}_{= M \text{ 位相的な解による場}}$$

$$[H_{\text{eff}}, mQ] = i \int \delta M d^3x$$

⇓ ← 古典解

$$= i4\pi m \sigma^0 \bar{\epsilon}$$

4 まとめ

- 位相的な解により表面積分が残り超対称性が破れる：

$$\{Q_\alpha, Q_\beta\} = 0$$

$$\begin{aligned} i[H, Q_\alpha] &= -i \int d^3x \partial_i J_\alpha^i \Big|_{\text{位相的な解}} \\ &= i4\pi(\sigma^0 \bar{\epsilon})_\alpha \neq 0 \end{aligned}$$

ポリヤコフモノポールのな解

$$\bar{\lambda}^\alpha = n \bar{\epsilon}^\alpha, \quad n = \frac{r}{r}, \quad A_i = \partial_i n \times n, \quad A_0 = 0$$

↓多体化

- 位相的な解による付加項：

$$\begin{aligned} \mathcal{L}_{\text{eff}} &= \underbrace{\mathcal{L}}_{\text{位相的な解を含まず SUSY}} + \underbrace{ic(\lambda^\alpha \sigma^\mu \partial_\mu \bar{\lambda}^\alpha - \partial_\mu \lambda^\alpha \sigma^\mu \bar{\lambda}^\alpha - im\lambda\lambda - im\bar{\lambda}\bar{\lambda})}_{= M \text{ 位相的な解による場, SUSY}} \end{aligned}$$

$$[H_{\text{eff}}, Q_\alpha] = i \int \delta M d^3x = i4\pi(\sigma^0 \bar{\epsilon})_\alpha \text{ (解を使った)}$$

今後の課題

- 破れのオーダー m や c の決定。
- より現実的な模型への拡張。
- 超対称性以外の対称性への幾何学的やぶれの応用。

例) 双対対称性 (Schwinger の dyon model)

双対対称性

電場 E \leftrightarrow 磁場 B

双対変換

$$\begin{pmatrix} E' \\ B' \end{pmatrix} = \begin{pmatrix} \cos \Lambda & \sin \Lambda \\ -\sin \Lambda & \cos \Lambda \end{pmatrix} \begin{pmatrix} E \\ B \end{pmatrix}, \quad \Lambda; \text{global phase}$$

Two-potential approach

$$A^\mu = (\varphi_e, \mathbf{A}), \quad C^\mu = (\varphi_m, \mathbf{C})$$

$$W_\mu = A_\mu + iC_\mu$$

$$W'_\mu = e^{ie\Lambda} W_\mu, \quad e; \text{Dual coupling constant}$$

$$F_{\mu\nu} = \partial_\mu A_\nu - \partial_\nu A_\mu, \quad H_{\mu\nu} = \partial_\mu C_\nu - \partial_\nu C_\mu$$

$$E^i = F^{i0} - \tilde{H}^{i0}, \quad B^i = \tilde{F}^{i0} + H^{i0}$$

$$\mathcal{L} = -\frac{1}{4} G^{\mu\nu} G_{\mu\nu}^* \\ G_{\mu\nu} = \partial_\mu W_\nu - \partial_\nu W_\mu = F_{\mu\nu} + iH_{\mu\nu}$$

双対対称性の破れ

◇ 運動方程式の解

$$W^\mu = \left(\frac{1}{r} + i\alpha a, 0, 0, 0 \right) \text{の時}, \quad a; \text{定数}$$

◇ Dual Charge

$$\dot{Q}_\alpha = i[H, Q_{\text{dual}}] = -\int d^3x \partial_i J_\alpha^i = -4\alpha\pi$$

(dipole の量子化条件より a が決定できる?)

力起 Γ 中間子崩壊と Γ 中間子生成

'01.12.5

松本慎一郎

1. はじめに
2. 強い相互作用と S-matrix の base
3. Γ 崩壊過程での Γ 生成振幅
4. Γ 崩壊過程での Γ 生成振幅
 - (i) 非微分型振幅
 - (ii) 微分型振幅
5. 一般的な生成振幅及び Γ 崩壊率
6. 解析
7. まとめと課題

1. はじめに

ππ生成過程

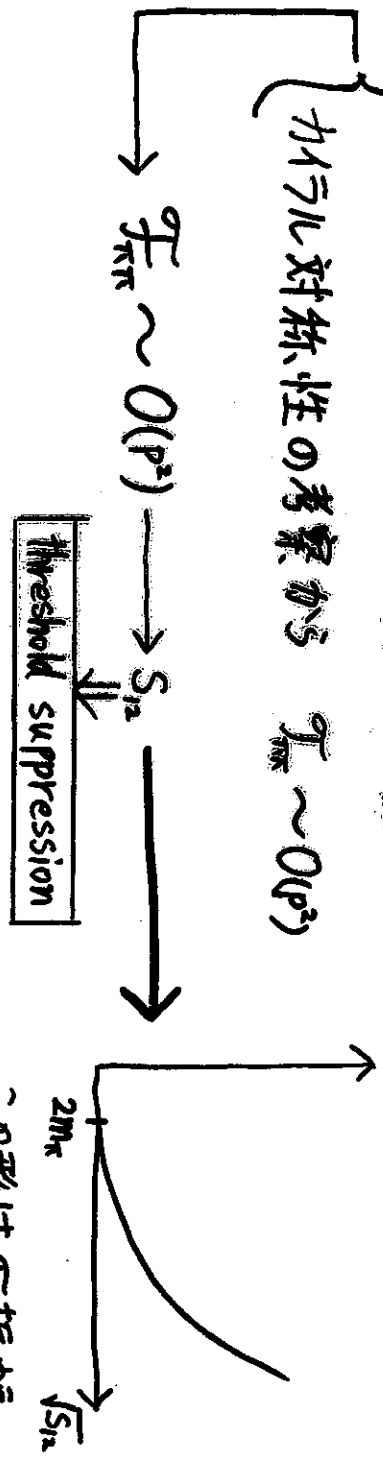
$$\left\{ \begin{array}{l} \mathcal{T}(2S) \rightarrow \mathcal{T}(1S)\pi\pi \\ \mathcal{T}(3S) \rightarrow \mathcal{T}(1S)\pi\pi \\ \mathcal{T}(3S) \rightarrow \mathcal{T}(2S)\pi\pi \end{array} \right.$$

ππ生成振幅 $\mathcal{T}_{\pi\pi}$ を σ Breit-Wigner 振幅と direct ππ 生成振幅の和の形を用いて解析 (P.L. B508 (2001) 31)

$$\mathcal{T}_{\pi\pi} = \frac{M_\sigma^2 e^{i\theta_\sigma} \Gamma_\sigma}{M_\sigma^2 - S - i\Gamma_\sigma \Gamma_\sigma} + \Gamma_{\text{dir}} e^{i\theta_{\text{dir}}} \rightarrow \begin{cases} M_\sigma = 526 \text{ MeV} \\ \Gamma_\sigma = 301 \text{ MeV} \end{cases}$$

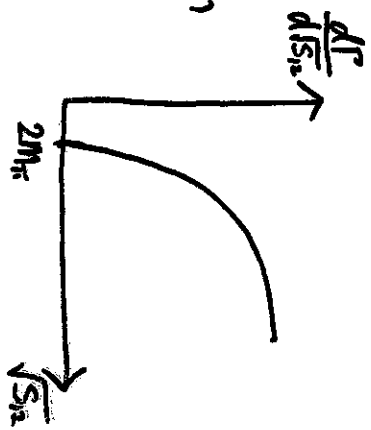
← カイラル対称性と consistent か?

F.S.I. の考察から $\mathcal{T}_{\pi\pi} = \alpha \mathcal{T}_{\text{dir}}$ 数値 ↓ 数値
 カイラル対称性の考察から $\mathcal{T}_{\pi\pi} \sim O(p^2)$

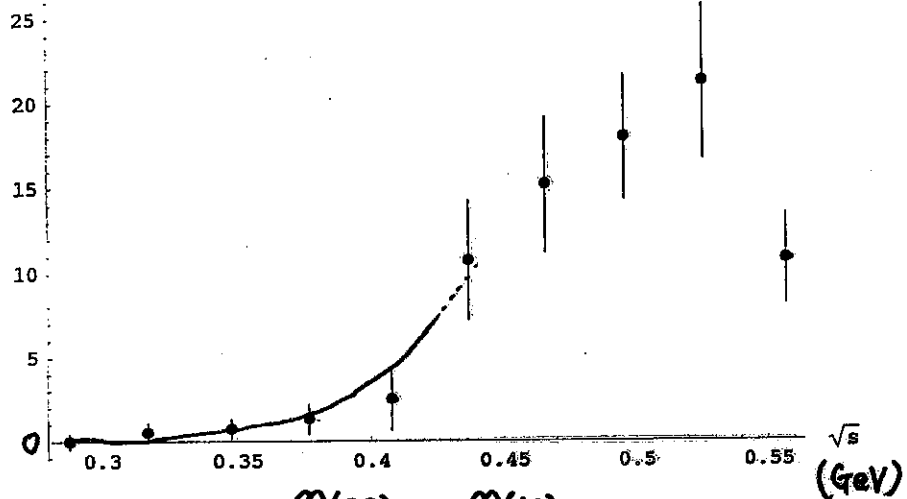


$\mathcal{T}(2S) \rightarrow \mathcal{T}(1S)\pi\pi$ 過程の ππ mass スプレッドの形は説明できても
 $\mathcal{T}(3S) \rightarrow \mathcal{T}(1S)\pi\pi$ 過程の ππ mass スプレッドの形は説明できない

threshold 付近で $\mathcal{T}_{\pi\pi} = \text{定数}$ であれば
 カイラル対称性と consistent か?
 threshold からの鋭い立ち上がりを示す

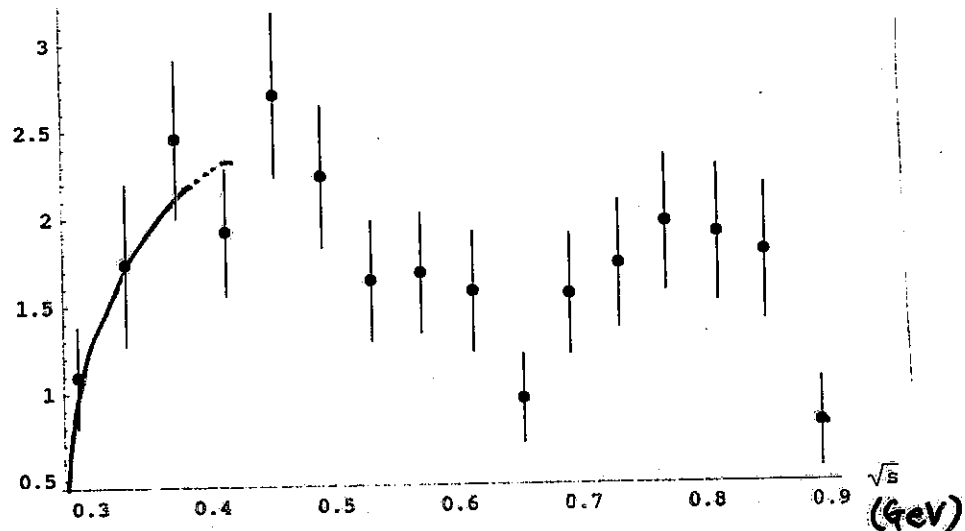


$\frac{d\Gamma}{d\sqrt{s}}$ (keV/GeV)



$T(2S) \rightarrow T(1S)\pi\pi$

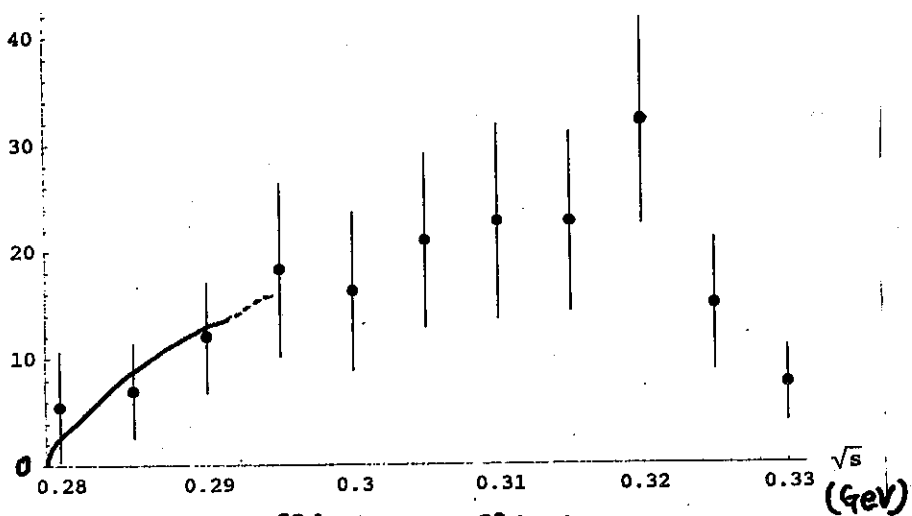
$\frac{d\Gamma}{d\sqrt{s}}$ (keV/GeV)



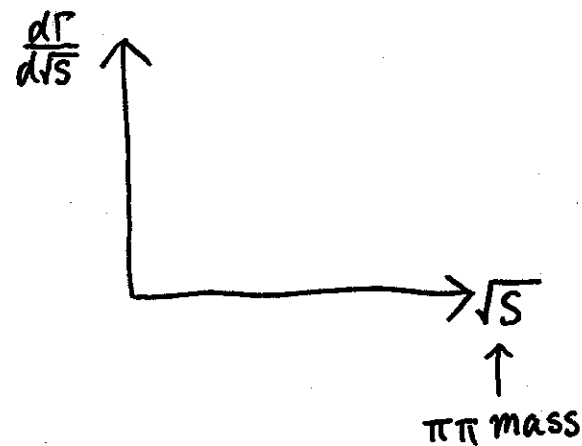
$T(3S) \rightarrow T(1S)\pi\pi$

CLEO phys. Rev. D49 (1994) 40

$\frac{d\Gamma}{d\sqrt{s}}$ (keV/GeV)



$T(3S) \rightarrow T(2S)\pi\pi$



2. 強い相互作用と S-matrix の base

S-matrix の basic field とし、 q, \bar{q}, g の安定な color singlet bound state Φ_c を取り入れる

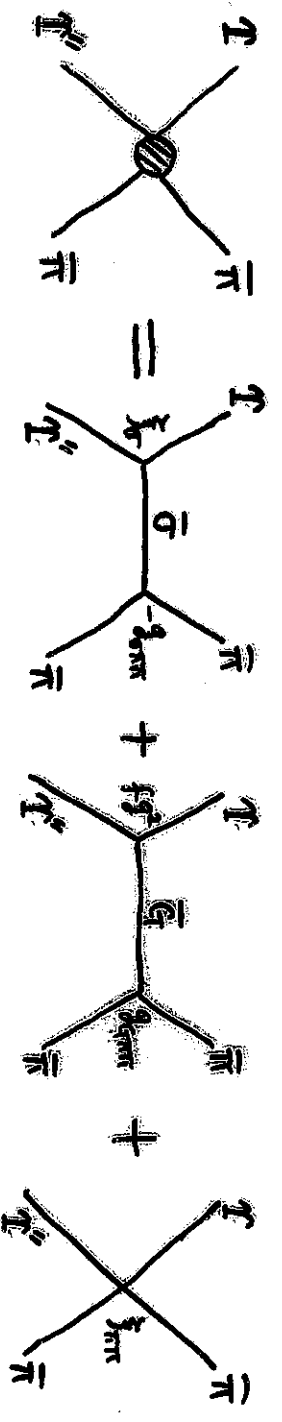
$$M_I^{sth}(\Phi_c) = \Phi_c \text{ の間の残留相互作用}$$

相互作用ハミルトニアン M_I がエルミートだと、S-matrix のユニタリ性が保証される

$$M_I^T = M_I \longrightarrow SS^\dagger = S^\dagger S = 1$$

	我々の立場	unitary chiral approach
basic fields	$\bar{\pi}, \sigma (= q\bar{q} \text{ bound state}), G, (F=0)$	$\bar{\pi}$ (安定粒子のみ)
switch on M_I^{sth}	$G_{phys}, G_{non}, (F \neq 0)$	σ ($\pi\pi$ の共鳴状態)
S-matrix obasen 完全系	$ \bar{\pi}\rangle, \sigma\rangle, G\rangle, \pi\pi\rangle$	$ \bar{\pi}\rangle, \pi\pi\rangle$

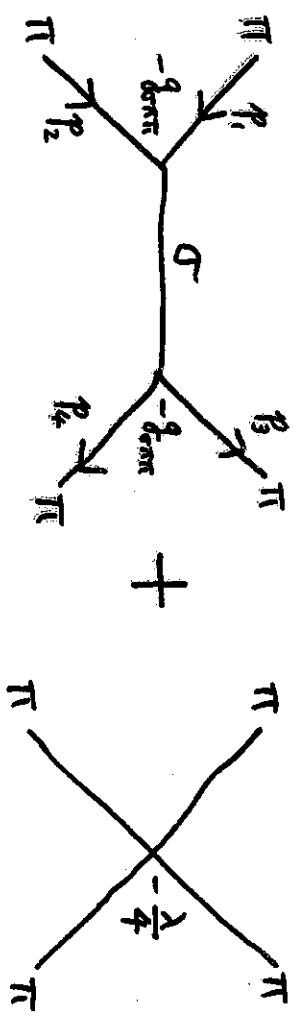
我々の立場では、線形 σ 模型と Nambu-Jona-Lasinio 模型に基づいた quark physics picture で議論する。



各 vertex に対応するラグランジアンは

$$\left\{ \begin{aligned} \mathcal{L}_{\pi\sigma} &= \xi_\sigma T_\mu^\nu T_\mu^\nu \sigma \\ \mathcal{L}_{\sigma\pi\pi} &= -g_{\sigma\pi\pi} \sigma \pi \pi \\ \mathcal{L}_{\text{ring}} &= f g^2 (q_\mu T_\mu^\nu)(q_\nu T_\nu^\mu) G_{\text{ring}} \\ \mathcal{L}_{G\text{ring}} &= g_{G\text{ring}} G_{\text{ring}} (q_\mu \pi \cdot q_\nu \pi) \\ \mathcal{L}_{\text{ring}^2} &= \xi_{\text{ring}^2} T_\mu^\nu T_\nu^\mu \pi^2 \end{aligned} \right.$$

3. $\pi\pi$ 散乱振幅



線形 σ 模型

$$\mathcal{L} = \frac{1}{2} [(2\mu\sigma)^2 + (2\mu\pi)^2] - \frac{\mu^2}{2} (\sigma^2 + \pi^2) - \frac{\lambda}{4} (\sigma^2 + \pi^2)^2$$

$\sigma = \sigma' + \sigma_0$ (σ の真空期待値 $\langle \sigma \rangle_0 \equiv \sigma_0 = f_\pi$)

$$g_{\sigma\sigma\pi\pi} = f_\pi \lambda = \frac{m_\sigma^2 - m_\pi^2}{2f_\pi}$$

$$\begin{aligned} m_\sigma^2 &= \mu^2 + 3\lambda f_\pi^2 \\ m_\pi^2 &= \mu^2 + \lambda f_\pi^2 \end{aligned}$$

$\pi\pi$ 散乱振幅

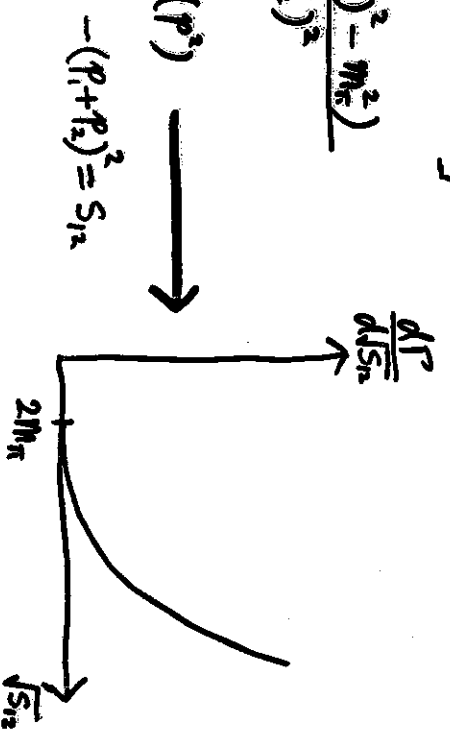
$$\mathcal{T}_{\pi\pi} = \frac{(-2g_{\sigma\pi\pi})^2}{m_\sigma^2 + (p_1 + p_2)^2} - 2\lambda$$

$$= \frac{1}{f_\pi^2} \left[\frac{(m_\sigma^2 - m_\pi^2)^2}{m_\sigma^2 + (p_1 + p_2)^2} - (m_\sigma^2 - m_\pi^2) \right]$$

$$= \frac{1}{f_\pi^2} \frac{(m_\sigma^2 - m_\pi^2)(-(p_1 + p_2)^2 - m_\pi^2)}{m_\sigma^2 + (p_1 + p_2)^2}$$

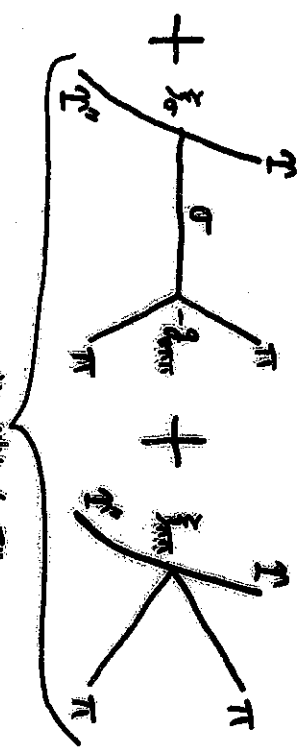
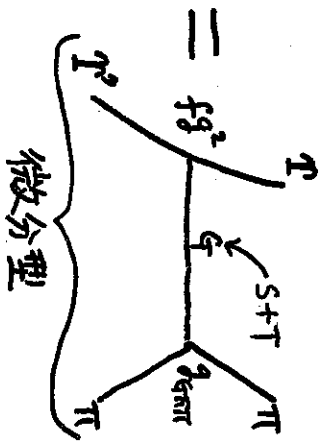
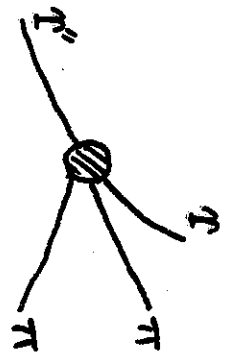
$m_\sigma^2 \gg -(p_1 + p_2)^2$

$$\sim \frac{-(p_1 + p_2)^2 - m_\pi^2}{f_\pi^2} \sim O(p^2) \longrightarrow$$



σ 振幅と $\lambda\pi^4$ 振幅が相殺しているため
 $\pi\pi$ threshold からのゆるやかな立ち上がりを示している

4. \mathbb{I} 崩壊過程での $\pi\pi$ 生成振幅



(i) 非微分型振幅

$\mathbb{I}(0S) \rightarrow \mathbb{I}(0S)\pi\pi$ 過程に対応するカイラル不変な線形 σ 模型の有効ラグランジアンを考える

$$\mathcal{L}_{\text{eff}}^{(0)} = \xi \mathbb{I}_\mu \mathbb{I}^\mu (\sigma^2 + \pi^2)$$

$$\sigma = \sigma_0 + \sigma' \text{ を代入 } \xrightarrow{f_\pi}$$

$$\begin{cases} \xi_\sigma = 2f_\pi \xi \\ \xi_\pi = \xi \\ g_{\text{down}} = \frac{M_\sigma^2 - M_\pi^2}{2f_\pi} \end{cases}$$

$\pi\pi$ 生成振幅

$$\mathcal{T}_{\pi\pi}^{(0)} = \xi_\sigma \frac{1}{M_\sigma^2 + (p_1 + p_2)^2} (-2g_{\sigma\pi\pi}) + 2\xi_\pi$$

cancel

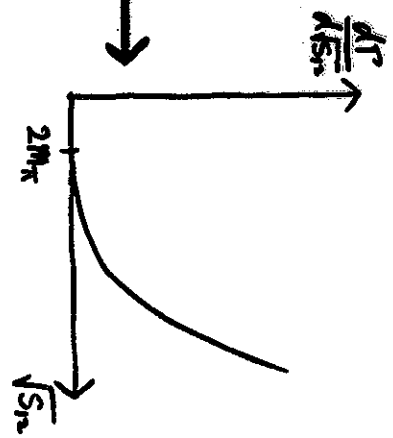
$$= 2\xi \left[\frac{M_\pi^2 - M_\sigma^2}{M_\sigma^2 + (p_1 + p_2)^2} + 1 \right]$$

$$= 2\xi \frac{(p_1 + p_2)^2 + M_\pi^2}{M_\sigma^2 + (p_1 + p_2)^2} \quad m_\sigma^2 \gg -(p_1 + p_2)^2$$

$$\propto (p_1 + p_2)^2 + M_\pi^2 \sim O(p^2) \longrightarrow$$

$\mathbb{I}(2S) \rightarrow \mathbb{I}(1S)\pi\pi$ は説明できても

$\mathbb{I}(3S) \rightarrow \mathbb{I}(1S)\pi\pi$ は説明できない



(ii) 微分型振幅

次に、カイラル不変な微分型有効ラグランジアンを考える

$$\mathcal{L}_{\text{eff}}^{(4)} = \xi^{(4)} \partial_\mu \Upsilon'' \partial_\nu \Upsilon'' (\partial_\mu \sigma \partial_\nu \sigma + \partial_\mu \pi \cdot \partial_\nu \pi)$$

$\pi\pi$ 生成振幅

$$\Upsilon(3S) \quad \Upsilon(1S)$$

~ 1 ($m_\pi^2, m_\pi^2 \gg S_0$)

$$\sigma_{\pi\pi}^{(4)} = -\xi^{(4)} (P' \cdot P_1 P \cdot P_2 + P' \cdot P_2 P \cdot P_1) \tilde{\epsilon}(P) \cdot \epsilon(P')$$

$P'_\mu(P)$ は $\Upsilon''(\Upsilon)$ の運動量、 P_μ, P'_μ は π の運動量

質量の大小関係

$$M_{\Upsilon''} > M_\Upsilon \gg M_{\Upsilon'} - M_\Upsilon \gg m_\pi$$

$\rightarrow \Upsilon'', \Upsilon$ はほとんど静止

$$\begin{cases} M_{\Upsilon''} = 10.355 \text{ GeV} \\ M_\Upsilon = 9.46 \text{ GeV} \\ m_\pi = 0.14 \text{ GeV} \end{cases}$$



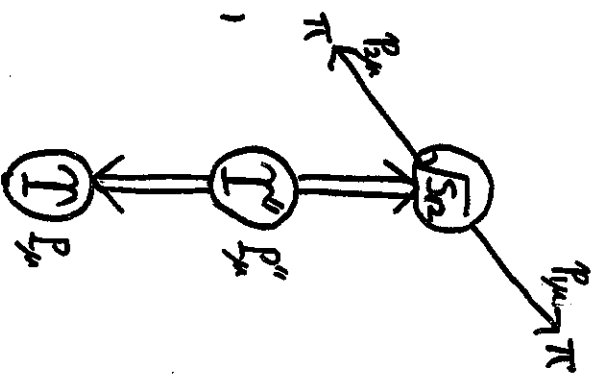
Pion energy

$$\sigma_{\pi\pi}^{(4)} \approx -2\xi^{(4)} M_{\Upsilon'} M_\Upsilon p_{10} p_{20}$$

さらに $\pi\pi$ threshold 近傍で $p_{10} = p_{20} = \frac{M_{\Upsilon'}^2 - M_\Upsilon^2}{2}$

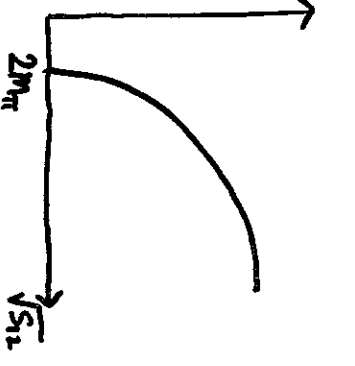
$$\sigma_{\pi\pi}^{(4)} \approx -2\xi^{(4)} M_{\Upsilon'} M_\Upsilon \left(\frac{M_{\Upsilon'}^2 - M_\Upsilon^2}{2}\right)^2 = \text{定数}$$

$\rightarrow \sigma_{\pi\pi}^{(4)}$ が $\pi\pi$ threshold 近傍で小さくない

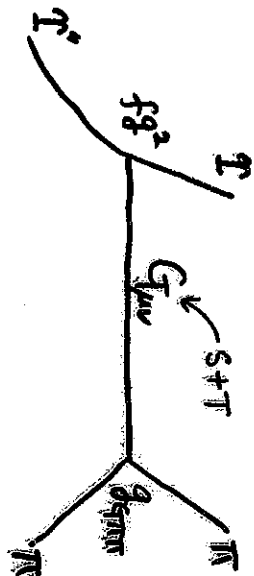


微分型ラグランジアンでは、 $\Upsilon(3S) \rightarrow \Upsilon(1S)\pi\pi$

の threshold 近傍のスワートルが説明できる $\frac{d\Gamma}{d\sqrt{s_1}}$



微分型振幅の起源



$$G_{\mu\nu} \approx \sum_{\alpha=1}^2 g_{\alpha}^{\mu} g_{\alpha}^{\nu}$$



$$G_{\mu\nu} = G_{\nu\mu}$$

$$L^{(d)} = (L_{Feyn}, L_{grav})$$

$$I' \rightarrow \mathbb{R}^4 \rightarrow \pi^4 \pi$$

Spinor wave function

$$\begin{cases} I'' \longrightarrow U(v) = \frac{1}{\sqrt{2}} i \epsilon(\not{p}') \cdot \gamma (1 + i \not{v} \cdot \gamma) \\ I \longrightarrow \bar{U}(w) = \frac{1}{\sqrt{2}} (1 + i \not{v} \cdot \gamma) i \tilde{\epsilon}(p) \cdot \gamma \end{cases}, \quad v_{\mu}'' = \frac{p_{\mu}}{M_{gr}}, \quad v_{\mu} = \frac{p_{\mu}}{M_{gr}}$$

$$\left\{ \begin{aligned} L_{Feyn} &= f g^2 (a \not{D}') (a \not{D}) G_{\mu\nu} \longrightarrow G_{\mu\nu} = G_{\mu\nu}^{(S)} + G_{\mu\nu}^{(T)} \\ &\quad \downarrow \text{自旋度} \\ &\quad \downarrow \mathcal{F}_{Feyn} \approx f g^2 \text{Tr} [i \gamma_{\mu} \bar{U}(w) i \gamma_{\nu} U(v)] \epsilon_{\mu\nu}^{\alpha} \\ &\quad \approx \tilde{\epsilon}(p) \cdot \epsilon(p') \frac{f g^2}{2} (v_{\mu} v'_{\nu} + v'_{\mu} v_{\nu}) \epsilon_{\mu\nu}^{\alpha} \\ L_{grav} &= g_{grav} G_{\mu\nu} (a_{\mu} \pi \cdot a_{\nu} \pi + a_{\mu} \sigma a_{\nu} \sigma) \leftarrow \text{chiral inv.} \\ &\quad \downarrow \mathcal{F}_{grav} \approx g_{grav} (p_{1\mu} p_{2\nu} + p_{1\nu} p_{2\mu}) \epsilon_{\mu\nu}^{\alpha} \end{aligned} \right.$$

$$\mathcal{F}_{Feyn}^{(d)} \approx \tilde{\epsilon}(p) \cdot \epsilon(p') \frac{f g^2}{2} (v_{\mu} v'_{\nu} + v'_{\mu} v_{\nu}) \left[\frac{P_{\mu\nu;\lambda\kappa}}{M_{gr}^2 - S_{12}} + \frac{P_{\mu\nu;\lambda\kappa}^T}{M_{gr}^2 - S_{12}} \right] g_{grav} (p_{1\lambda} p_{2\kappa} + p_{1\kappa} p_{2\lambda})$$

$$M_{gr}^2 \approx M_{gr}^2 \equiv M_{gr}^2 \gg S_{12}$$

$$p_{12} = p_1 + p_2$$

$$P_{\mu\nu;\lambda\kappa}^S + P_{\mu\nu;\lambda\kappa}^T = \frac{1}{2} (\tilde{\delta}_{\mu\lambda} \tilde{\delta}_{\nu\kappa} + \tilde{\delta}_{\mu\kappa} \tilde{\delta}_{\nu\lambda}), \quad \tilde{\delta}_{\mu\lambda} = \delta_{\mu\lambda} + \frac{p_{1\mu} p_{2\lambda}}{M_{gr}^2} \approx \delta_{\mu\lambda}$$

$$\mathcal{F}_{Feyn}^{(d)} \approx \tilde{\epsilon}(p) \cdot \epsilon(p') f g^2 v_{\mu} v'_{\nu} \tilde{\delta}_{\mu\lambda} \tilde{\delta}_{\nu\kappa} \frac{1}{M_{gr}^2 - S_{12}} g_{grav} (p_{1\lambda} p_{2\kappa} + p_{1\kappa} p_{2\lambda})$$

$$\therefore \mathcal{F}_{Feyn}^{(d)} = -\frac{1}{2} \tilde{\epsilon}^{(d)} \{ (\not{p}' \cdot \not{p}) (\not{p} \cdot \not{p}_2) + (\not{p}' \cdot \not{p}_2) (\not{p} \cdot \not{p}') \} \tilde{\epsilon}(p) \cdot \epsilon(p'), \quad \tilde{\epsilon}^{(d)} = \frac{f g^2 g_{grav}}{M_{gr}^2 M_{gr} M_{gr}}$$

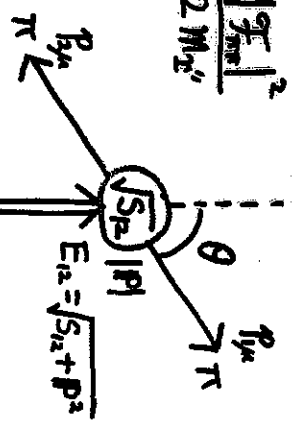
5. 一般のな生成振幅及心崩壊率

解析で用いる $\pi\pi$ 生成振幅 $\sigma_{\pi\pi}$ は

$$\begin{aligned} \sigma_{\pi\pi} &= \sigma_{\pi\pi}^{(0)} + \sigma_{\pi\pi}^{(2)} \\ &= 2\xi e^{i\theta} \frac{m_\pi^2 - s_{12}}{m_\pi^2 - s_{12} - i\sqrt{s_{12}} \Gamma_0(s_{12})} - \xi^{(2)} \{ (P^1 \cdot P_1)(P \cdot P_2) + (P^1 \cdot P_2)(P \cdot P_1) \} \\ &\quad (\xi_{\pi\pi} = \xi, \xi_0 = 2f_\pi \xi) \end{aligned}$$

崩壊率 (一般の形式)

$$\Gamma = \int \frac{d^3 p_1}{(2\pi)^3 2E_1} \frac{d^3 p_2}{(2\pi)^3 2E_2} \frac{d^3 P}{(2\pi)^3 2E} (2\pi)^4 \delta^*(P_1 + P_2 + P - P^0) \times \frac{1}{3} \sum_{i,j} |\xi_{\pi\pi}^{(i)} \xi_{\pi\pi}^{(j)}|^2 \frac{|g_{\pi\pi}|^2}{2m_\pi^2}$$



各運動量の成分

$$\left\{ \begin{aligned} P_{\mu} &= (g_{11} \cos\theta, g_{11} \sin\theta, \sqrt{s_{12}} g_{\cos\theta} + \frac{|P|}{2}, i(\frac{|P|}{\sqrt{s_{12}}} g_{\cos\theta} + \frac{E_{12}}{2})) \\ P_{2\mu} &= (-g_{11} \sin\theta, g_{11} \cos\theta, -\sqrt{s_{12}} g_{\cos\theta} + \frac{|P|}{2}, i(-\frac{|P|}{\sqrt{s_{12}}} g_{\cos\theta} + \frac{E_{12}}{2})) \\ P_{\mu} &= (0, 0, -|P|, iE) \\ P_{\mu} &= (0, 0, 0, i m_\pi) \end{aligned} \right.$$

$g = \sqrt{\frac{s_{12}}{4} - m_\pi^2}$
 θ : $\pi\pi$ 重心系での π の運動量

崩壊率

$$\Gamma = \frac{1}{2m_\pi^2} \int \frac{d^3 S_2}{\pi} \int_0^\pi d(\cos\theta) \frac{|P(S_{12})|}{4\pi m_\pi} \frac{|P(S_{12})|}{8\pi} \frac{1}{3} \sum_{i,j} |\xi_{\pi\pi}^{(i)} \xi_{\pi\pi}^{(j)}|^2 \frac{1}{\sigma_{\pi\pi}(s_{12}, \cos\theta)} \rightarrow \frac{d\Gamma}{d^3 S_2}, \frac{d\Gamma}{d(\cos\theta)}$$

を実験結果と比較する

6. 解析

才 $N^*(2,0)$ 過程で
共通の値を ξ とす

$$\left\{ \begin{array}{l} m_\sigma = 0.563 \text{ GeV} \\ \Gamma_\sigma = 0.372 \text{ GeV} \quad (g_{\sigma\pi\pi} = 3.48 \text{ GeV}) \end{array} \right.$$

$$\mathbb{N}(2S) \longrightarrow \mathbb{N}(1S) \pi \pi$$

$$\xi = 2.6 \times 10^3 \text{ [無次元]}$$

$$\xi^{(0)} = 2.5 \text{ [GeV}^{-4}\text{]}$$

$$\theta_c = -28^\circ$$

$$\mathbb{N}(3S) \longrightarrow \mathbb{N}(1S) \pi \pi$$

$$\xi = 218 \text{ [無次元]}$$

$$\xi^{(0)} = 46 \text{ [GeV}^{-4}\text{]}$$

$$\theta_c = 248^\circ$$

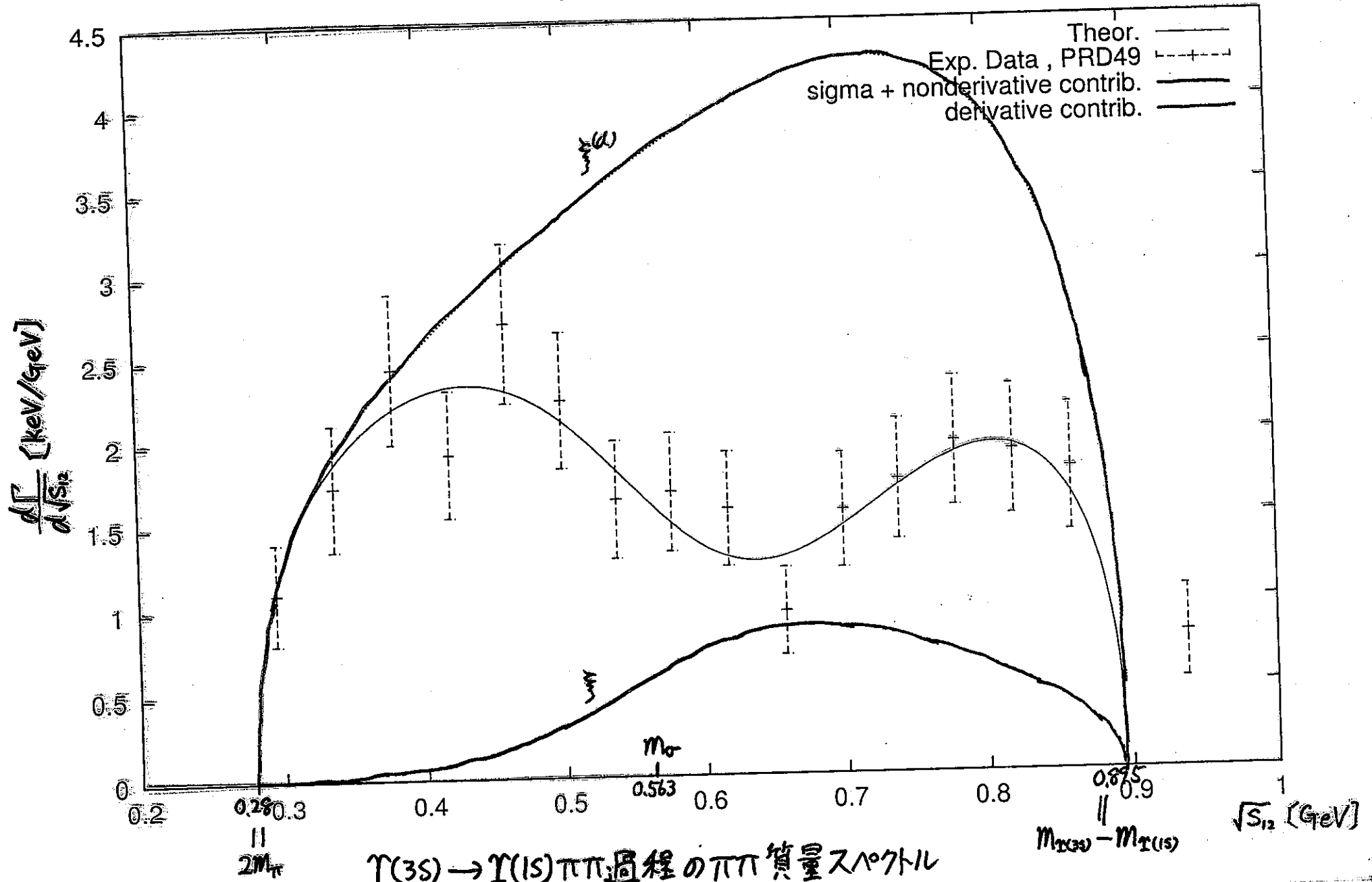
$$\mathbb{N}(3S) \longrightarrow \mathbb{N}(2S) \pi \pi$$

$$\xi = 1.777 \times 10^4 \text{ [無次元]}$$

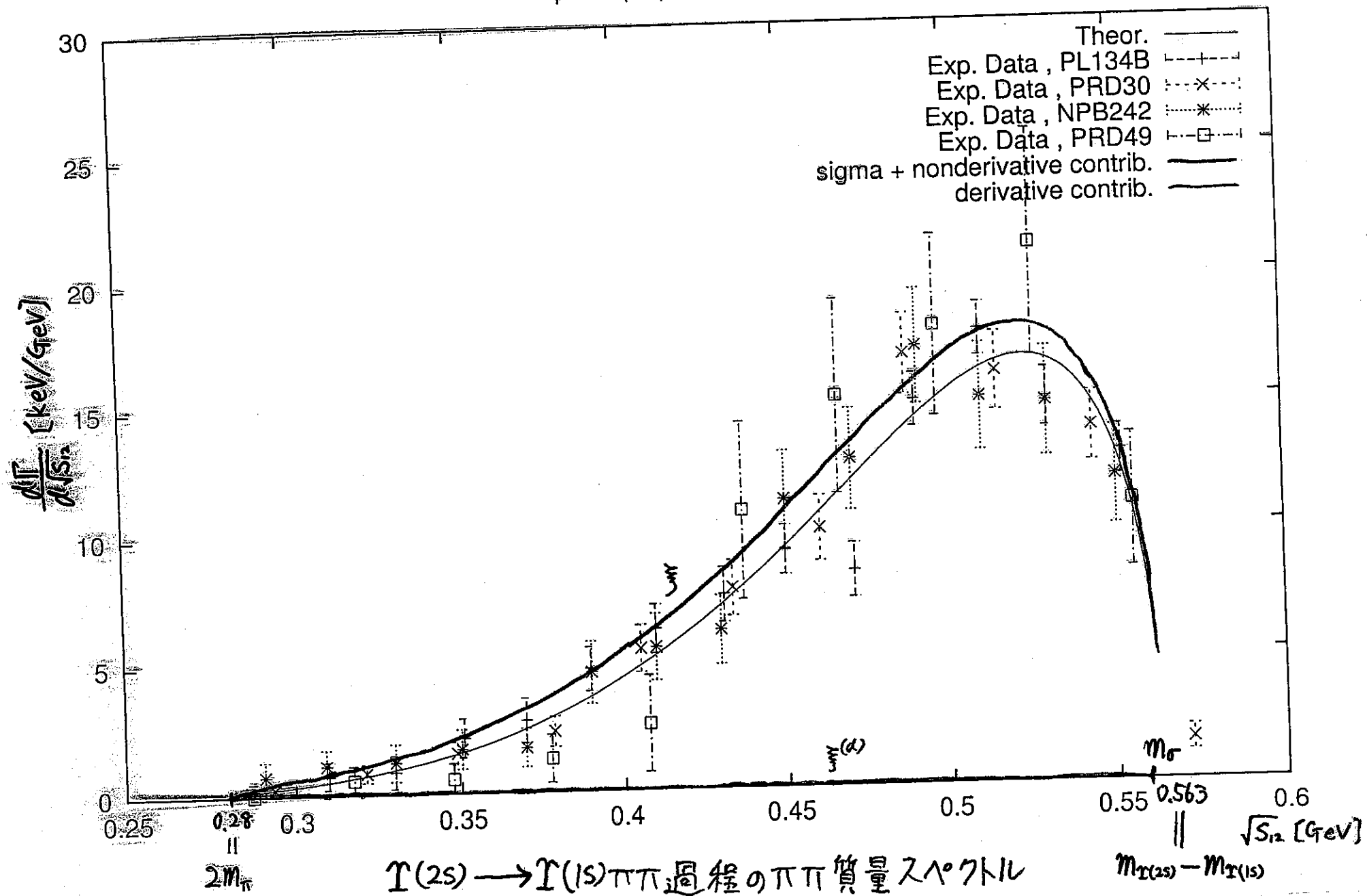
$$\xi^{(0)} = 2.05 \times 10^3 \text{ [GeV}^{-4}\text{]}$$

$$\theta_c = 66^\circ$$

Upsilon(3S) -> Upsilon(1S)



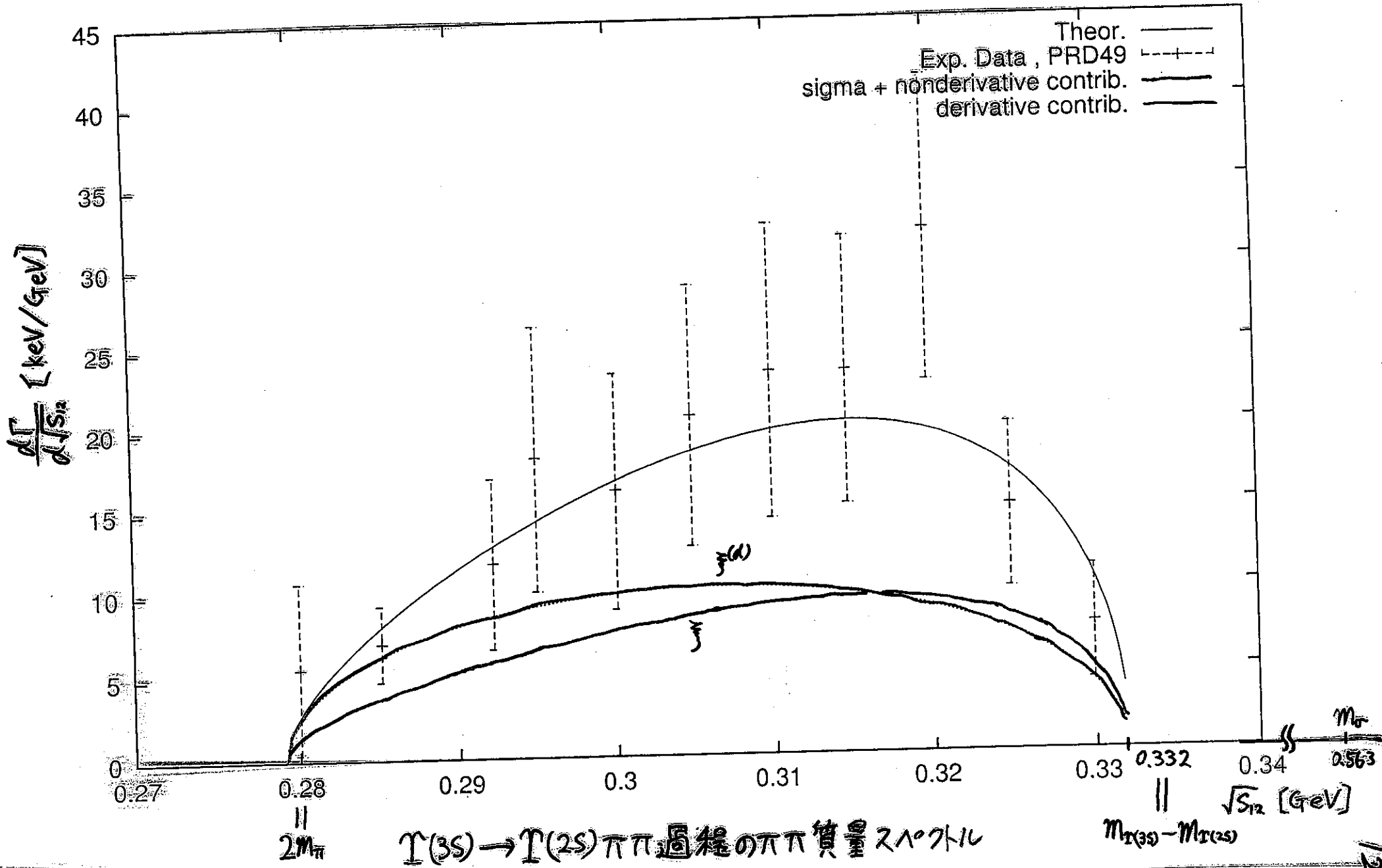
Upsilon(2S) -> Upsilon(1S)



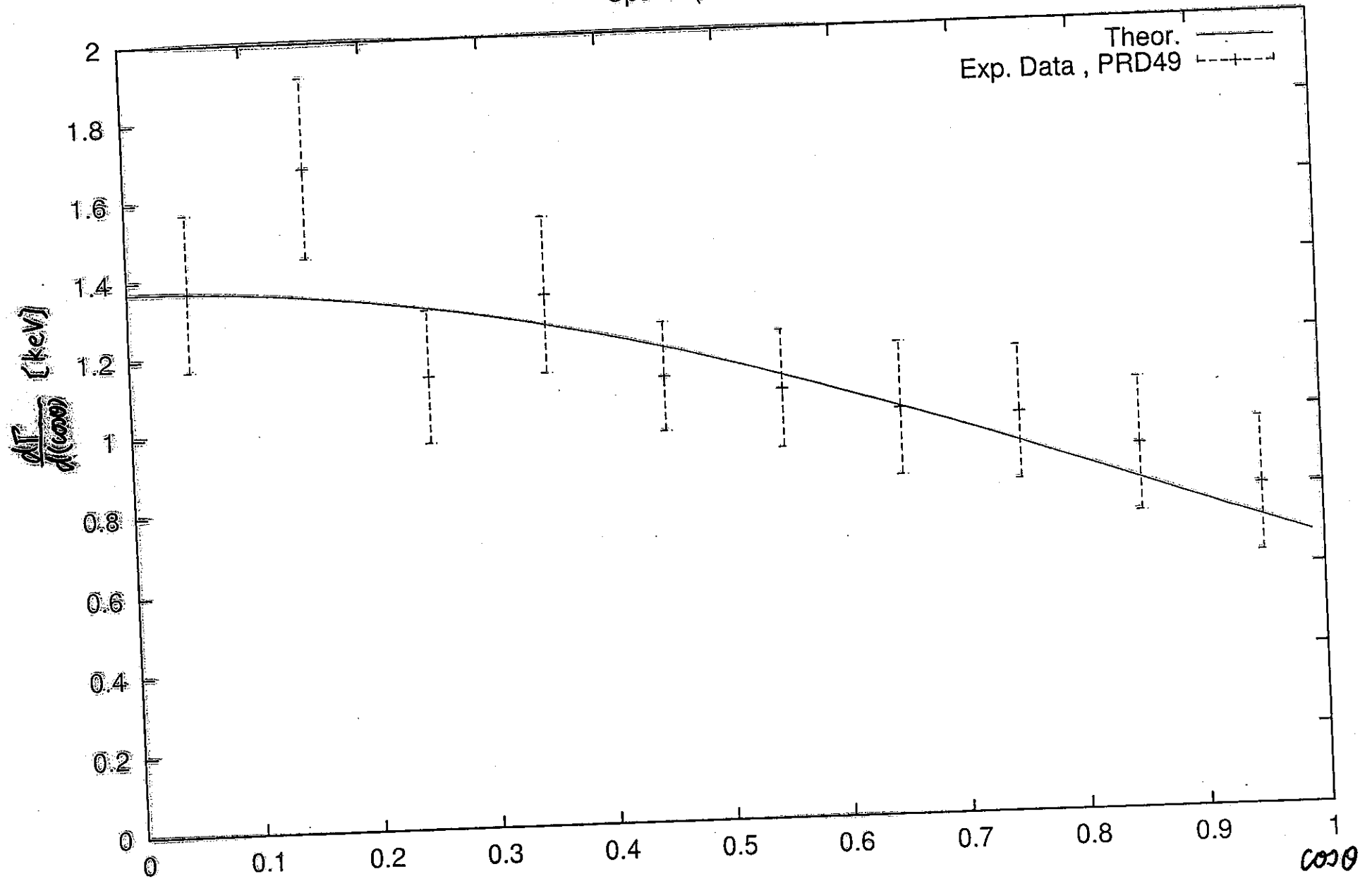
$\Upsilon(2S) \rightarrow \Upsilon(1S)\pi\pi$ 過程の $\pi\pi$ 質量スペクトル

$m_{\Upsilon(2S)} - m_{\Upsilon(1S)}$

Upsilon(3S) -> Upsilon(2S)



Upsilon(3S -> 1S)



$\Upsilon(3S) \rightarrow \Upsilon(1S) \pi\pi$ 過程の $\pi\pi$ 角分布

7. まとめと課題

まとめ

。カイラル対称性から要求される制限と矛盾しない振幅を用いて、 π 崩壊過程に対する $\pi\pi$ 質量分布及び ρ 角分布のスワトホルンの形が説明できた。
 。Universality argument は Energy release ΔE が m_π に比べて十分に大きいため成り立たない。

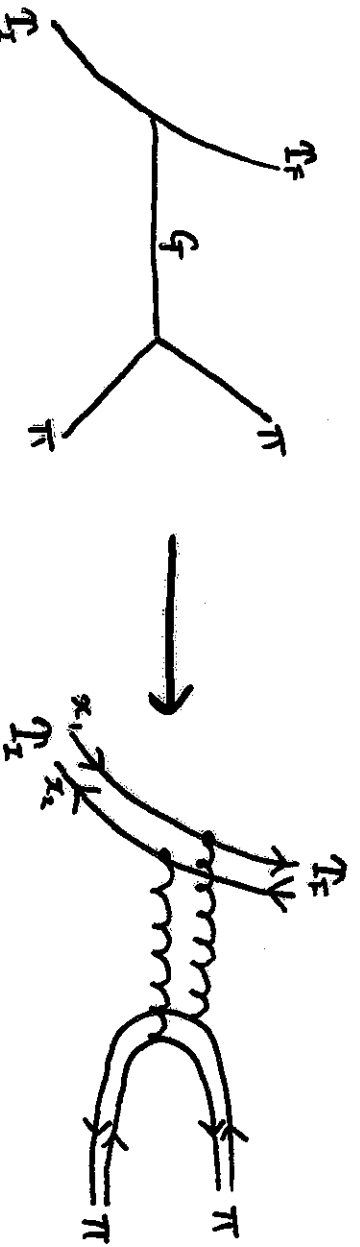
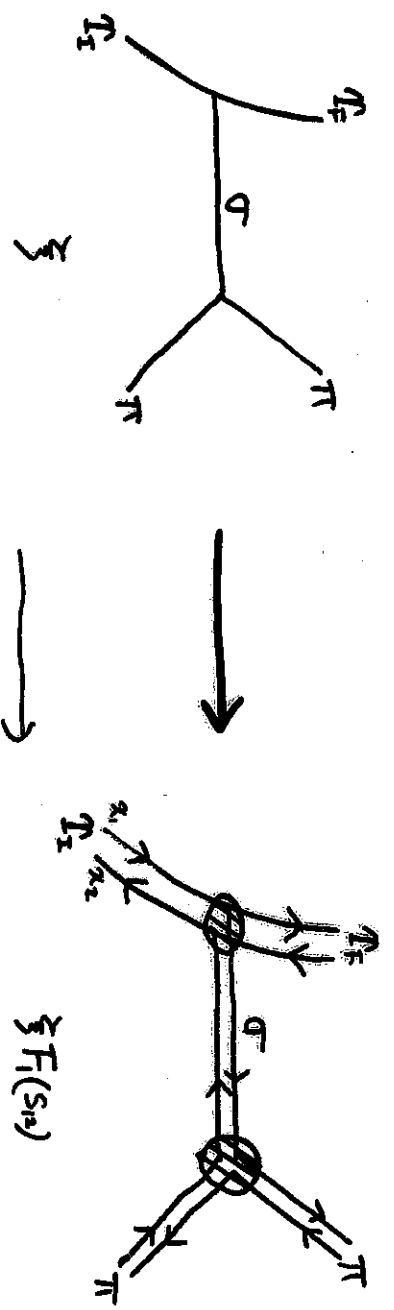
$\pi\pi$ 生成過程と $\pi\pi$ 散乱過程の違い

	$\pi\pi$ 生成過程	$\pi\pi$ 散乱過程
Energy release ΔE	一般に大きい $\gg m_\pi$	threshold 付近で 0
振幅の形	$P_1 \cdot P_1, P_1 \cdot P_2$ $\pi\pi$ threshold 付近で大きい $\sim O(M\Delta E)^2$	$P_1 \cdot P_2$ 等 $\pi\pi$ threshold 付近で小さい $\sim O(m_\pi^2)$
$\pi\pi$ threshold 付近での σ や 2π 振幅の相殺	一般に1丈起こうない	起こる
Adler 0 ($P_\mu \rightarrow 0$)	存在するか、 ΔE が大きいために \sqrt{s} が小さい領域に対応しない	存在する
スワトホルンの特徴	多くの場合、 $\pi\pi$ threshold からの鋭い立ち上がりを示す の共鳴の peak が直接観測される	$\pi\pi$ threshold で小さい σ の直接の peak は観測されない

- $M_{\text{max}} = 10.355 \text{ GeV}$ $\Gamma(3S) \rightarrow \Gamma(1S)\pi\pi$, $\Delta E = 895 \text{ MeV}$
- $M_{\text{max}} = 10.023 \text{ GeV}$ $\Gamma(2S) \rightarrow \Gamma(1S)\pi\pi$, $\Delta E = 563 \text{ MeV}$
- $M_{\text{max}} = 9.46 \text{ GeV}$ $\Gamma(3S) \rightarrow \Gamma(2S)\pi\pi$, $\Delta E = 332 \text{ MeV}$
- $M_\pi = 0.14 \text{ GeV}$

今後の課題

過程ごとに異なる結合定数 ($\xi, \xi^{(0)}$) の値を $\frac{fg^2 g_{\sigma\pi\pi}}{m_\sigma^2 M_{\pi^+} M_{\pi^-}}$ meson の構造の違い (例えば "form factor") によって説明できるか検討する。



$$\xi^{(0)} \left(= \frac{fg^2 g_{\sigma\pi\pi}}{m_\sigma^2 M_{\pi^+} M_{\pi^-}} \right) \longrightarrow \frac{fg^2 g_{\sigma\pi\pi}}{m_\sigma^2 M_{\pi^+} M_{\pi^-}} F_2(s_{12})$$